

## ГЕОФИЗИЧЕСКИЕ МЕТОДЫ ПОИСКОВ И РАЗВЕДКИ

УДК 550.837,311

Л. Н. ПОРОХОВА, В. А. ШЕВНИН, А. Г. БАХИРОВ

ИНТЕРПРЕТАЦИЯ КРИВЫХ ВЭЗ НА ЭВМ  
С ОЦЕНКОЙ ЭФФЕКТИВНОСТИ РЕШЕНИЯ

Используя ЭВМ при интерпретации ВЭЗ, можно увеличить скорость обработки, снизить ее трудоемкость, а главное — повысить точность и уменьшить неоднозначность результатов. Разработка алгоритмов и программ для интерпретации ВЭЗ на ЭВМ продолжается свыше 25 лет, их обзоры приведены, например, в [1, 2, 5]. Среди алгоритмов преобладают разные варианты подбора, т. е. косвенной интерпретации, заключающиеся в изменении параметров заданной модели так, чтобы модельная кривая ВЭЗ совпала с наблюденной. В большинстве алгоритмов подбора за критерий качества интерпретации принимают величину невязки — среднее относительное расхождение модельной и наблюденной кривых. Недостаток этого критерия — слабая связь с погрешностями оцениваемых параметров модели, часто в алгоритмах подбора погрешности параметров не оцениваются. Изложенный в настоящей работе статистический алгоритм интерпретации позволяет, наряду с получением решения, определить погрешности оценок всех параметров модели, корреляционные связи оценок параметров, а также показать причины, приводящие к высоким погрешностям.

Статистический подход к решению обратных задач геофизики, в частности геоэлектрических зондирований, изложен в работах [3, 5]. Мы укажем лишь его основные моменты. В работе приняты следующие обозначения:  $\rho$  — совокупность экспериментальных значений кажущегося сопротивления на  $k$  разносах с текущим индексом разносов  $j$ ;  $f$  — теоретические значения кажущегося сопротивления;  $\xi$  — случайные ошибки в  $\rho$ ;  $\Theta$  — вектор оцениваемых значений параметров разреза;  $P$  — вектор априорных значений;  $s$  и  $p$  — индексы текущего параметра разреза;  $i$  — индекс слоя;  $\rho_i$  — истинное сопротивление  $i$ -го слоя.

Пусть в результате ВЭЗ получены значения кажущегося сопротивления  $\rho(r_j)$ , ( $j=1, k$ ). Модель разреза представим в виде горизонтально-однородной слоистой среды, значения удельных сопротивлений  $\rho_1$  и мощностей  $h_1$  объединены в вектор параметров  $\Theta = (\rho_1, \rho_2, \dots, \rho_N, h_1, h_2, \dots, h_{N-1}) = (\Theta_1, \Theta_2, \dots, \Theta_s, \dots, \Theta_n)$ , состоящий из  $n \leq 2N-1$  компонент. Число  $n$  будет меньше  $2N-1$  в том случае, если какие-либо из параметров фиксированы.

Требуется определить все  $n$  компонент модели горизонтально-слоистого разреза. Будем учитывать, что экспериментальные данные  $\rho$  обложены случайными ошибками  $\xi$ , т. е.  $\rho_j = f_j + \xi_j$ , причем среднее значение  $\xi$  равно 0. Дисперсия  $D(\rho_j)$  случайных величин  $\rho_j$  в предположении, что  $\rho$  некоррелированы по  $j$ , может быть выражена формулой:

$$D(\rho_j) = f_j^2 \cdot D_0. \quad (1)$$

Обратим внимание, что дисперсия выборки  $\rho$  — функция параметров среды. Предположим, она не определяется из наблюдений. Тогда,

учитывая (1), ее можно оценить путем включения в число неизвестных параметров.

Таким образом, обратная задача ВЭЗ оказывается эквивалентной статистической задаче оценивания параметров  $\Theta$  по случайной выборке  $\rho$ . Для ее решения используется критерий максимального правдоподобия: в качестве оценки составляющих вектора неизвестных параметров  $\Theta$  принимаются такие значения  $\Theta_s$ , при которых логарифмическая функция правдоподобия  $l(\Theta)$  достигает максимума.

Из математической статистики известно: функция правдоподобия численно равна плотности вероятности выборки  $P(\rho, \Theta)$ , когда ее элементы  $\rho_j$  приняли фиксированные значения и  $P(\rho, \Theta)$  зависит только от вектора параметров  $\Theta$ .

При полевых измерениях, как показывает практика ВЭЗ, среднеквадратическая ошибка в  $\rho$  не превышает 5%. В этом случае допустимо принять нормальное распределение. Принято считать [4], что экспериментальные значения  $\rho$  подчиняются логнормальному закону распределения, исходя из  $\rho_j > 0$ . Отличие истинного распределения от нормального важно учитывать только, когда ошибки велики, т. е. велика дисперсия наблюдений. При малых ошибках многие распределения, в том числе и логнормальное в предельном случае, переходят в нормальное.

Представим логарифмическую функцию правдоподобия данных, как показано в работе [3], в виде:

$$l_D(\Theta) = -\frac{1}{2} \left\{ \kappa \ln(2\pi D_0) + \sum_{j=1}^n [\ln f_j + D_0^{-1} (\rho_j - f_j)^2 / f_j^2] \right\} \quad (2)$$

Если имеются априорные оценки параметров  $P_s$  и допустимые пределы их возможных значений, выраженные в виде дисперсий  $D(P_s)$ , то допустив отличия  $P_s$  от истинной величины  $\Theta_s$  на случайную ошибку  $\Delta\Theta_s$ , распределенную нормально с нулевым средним, для априорной логарифмической функции правдоподобия параметров можно записать:

$$l_n(\Theta) = -\frac{1}{2} \left\{ \kappa \ln(2\pi) + \sum_{s=1}^n [\ln D(P_s) + (P_s - \Theta_s)^2 / D(P_s)] \right\} \quad (3)$$

Тогда апостериорная (обобщенная) логарифмическая функция правдоподобия  $l_{D,n}(\Theta)$ , обозначаемая далее как  $l(\Theta)$ , равна

$$\begin{aligned} l(\Theta) = l_D(\Theta) + l_n(\Theta) = & -\frac{1}{2} \left\{ (\kappa + n) \ln 2\pi + \kappa \ln D_0 + \sum_{s=1}^n [\ln D(P_s) + (P_s - \Theta_s)^2 / D(P_s)] \right\} + \\ & + \sum_{j=1}^n [\ln f_j + D_0^{-1} [(\rho_j - f_j)^2 / f_j^2]] \end{aligned} \quad (4)$$

В общем виде задача сводится к поиску максимума функции  $l(\Theta)$  по  $\Theta$ , последнее эквивалентно решению системы нелинейных уравнений:

$$dl(\Theta) / d\Theta_s = 0, \quad (s = 1, 2, \dots, n). \quad (5)$$

Для ее решения используется метод Ньютона—Маркуардта с поправкой Лекама, подробно описанный в работах [3, 5]. Согласно этому методу, начиная с некоторой заданной точки начального приближения  $\Theta^{(0)}$ , переходят в новую точку  $\Theta^{(1)}$  (в общем случае из  $\Theta^{(r-1)}$  в  $\Theta^{(r)}$ ) и двигаются в параметрическом пространстве по направлению, определяемому величиной:

$$\Delta\Theta = (A + L)^{-1} \cdot B, \quad (6)$$

$$\text{Тогда } \Theta^{(r)} = \Theta^{(r-1)} + \Delta\Theta^{(r)}, \quad (7)$$

где  $r$  номер шага итераций;  $L$  диагональная матрица, члены которой регулируют сходимость процесса, не позволяя слишком менять направление при последовательном приближении [3]. В формуле (6) элементы матрицы  $A$  и вектора  $B$  определяются так:

$$A_{sp} = (I + D_0) D_0^{-1} \sum_{j=1}^K (C_{js} \cdot C_{jp}), \quad (8) \quad B_s = \sum_{j=1}^K (\rho_j^2 - f_j \rho_j - D_0 f_j^2) (f_j^T D_0)^{-1} C_{js}, \quad (9)$$

где  $C_{js} = \partial \ln f_j / \partial \Theta_s$  вычисляются в точке  $\Theta = \Theta^{(r-1)}$ . Отметим, что формулы (8, 9) написаны для случая, когда априорные сведения отсутствуют. Их наличие влечет добавки в  $B$  и в диагональные члены матрицы  $A$  [3, 5].

Процесс последовательных приближений продолжается до тех пор, пока не будет достигнуто условие:

$$|(l^{(r)} - l^{(r-1)}) / l^{(r-1)}| < \delta, \quad (10)$$

где  $\delta$  — заданный уровень сходимости. Параметры  $\Theta^{(r)}$ , полученные при выполнении условия (10), принимаются за решение задачи.

#### Определение оптимальной модели разреза оценок сопротивлений слоев руд

Номер слоя	Исходная модель		Погрешности оценок руд				
	$\rho_{руд}$	$h$	А	Б	В	Г	Д
1	30	5	1,04	1,02	1,02	1,02	1,02
2	100	1,5	1,86	1,67		2,02	1,82
3	70	4	2,80	2,76			
4	10	8	>5	>5	>5	—	
5	250	1	1,28				
6	15	6	5				1,20
7	80	4	2,17		3,18	2,73	2,82
8	15	3,5	>5				
9	300	5	1,23		1,14	1,34	1,08
10	350	$\infty$	1,16				1,11

Примечание. Слои 1—3 — рыхлые отложения разного состава; 4 — юрские яки, глины и мергели; 9—10 — среднекаменноугольная толща известняков, вывет А — 10 слоев; Б — 6; В, Г — 5; Д — 4. В модели Г сопротивление  $\rho_3 = 10$  закреплено.

Оценки максимального правдоподобия в рамках принятой модели разреза при условии  $k \gg n$  (количество данных значительно больше числа неизвестных параметров) асимптотически несмещены и нормальны с ковариационной матрицей совместных оценок параметров  $R = ||-\partial^2 l(\Theta)/\partial\Theta_s \cdot \partial\Theta_p||^{-1}$ .

Матрица  $R$  совпадает с элементами  $A^{-1}$ , если в последней дифференцирование проводить в точке пространства параметров, соответствующей найденным оценкам  $\Theta_s$ . Матрица  $R$  называется матрицей ошибок Фишера. Диагональные члены  $R_{ss}$  — оценки дисперсий  $\Theta_s$ . Погрешность удобней характеризовать относительной величиной  $\gamma$ :

$$\gamma_s = \sqrt{R_{ss}}/\Theta_s. \quad (11)$$

Если  $\gamma_s < 0,4$ , то доверительный интервал оценки  $\Theta_s$  равен

$$(\Theta_s - t\sqrt{R_{ss}}) < \Theta_s < (\Theta_s + t\sqrt{R_{ss}}), \quad (12)$$

где  $t$  коэффициент Стьюдента. При расчетах использовалось значение  $t = 1,96$ , соответствующее доверительной вероятности 95 %. При  $\gamma_s > 0,4$  доверительный интервал, вычисленный по формуле (12), будет выходить из области допустимых значений параметров. В связи с этим можно

по величине погрешностей  
и мощностей слоев  $h$

Погрешности оценок $h$					Оптимальная модель ( $\Gamma$ )	
А	Б	В	Г	Д	$\rho_{уд}$	$h$
2,19	1,28	1,25	1,15	1,16	30,2	5,3
все $e > 5$		2,81	1,98	2,13	102,9	4
		>5	1,90		10	8,9
все $e > 5$				1,27		
	1,90	1,87	1,47		47,5	32,9
	—	—	—	—	361,5	$\infty$
	—					

глины; 5—8 — верхнекаменноугольная толща переслаивания тонких пластов известняка в верхней части (слой 9). А—Д соответствуют разным моделям разреза: Прочерк — погрешности оценок  $h$  для последнего слоя не определены.

вместо  $\Theta_s$  рассматривать связанный с ним параметр  $m_s = \ln \Theta_s$ . Доверительный интервал для  $m_s$  определяется, как и ранее:  $(m_s - t\gamma_s) < m_s < (m_s + t\gamma_s)$ , а полученный из него доверительный интервал для  $\Theta_s$ :

$$(\Theta_s/\epsilon_s) < \Theta_s < (\Theta_s \cdot \epsilon_s), \quad (13)$$

где  $\epsilon_s = \exp(t\gamma_s)$ .

Величину  $\epsilon$  можно принять за количественную оценку устойчивости решения обратной задачи ВЭЗ. Наш опыт показал: устойчивое решение должно характеризоваться  $\epsilon < 2$ . При  $\epsilon = 2-5$  решение неустойчиво (слишком велико действие принципа эквивалентности). При  $\epsilon > 5$  интерпретацию в рамках заданной модели проводить бессмысленно. Необходимо либо ввести априорную информацию, либо заменить модель, уменьшив число слоев.

Важная характеристика эффективности решения — коэффициенты корреляции оценок  $\Theta_s$ ,  $\Theta_p$ , устанавливаемые по внедиагональным членам ковариационной матрицы  $R$ :

$$r_{sp} = R_{sp}/\sqrt{R_{ss}R_{pp}}, \quad (s=1, n; p=1, n; s \neq p). \quad (14)$$

Пусть  $R_{ss}$  определяет дисперсию оценки  $\Theta_s$  в отсутствии корреляции между оценками  $\Theta_s$  и  $\Theta_p$ . Тогда

$$R_{ss} = R_{ss}^0 / \sqrt{1 - r_{sp}}. \quad (15)$$

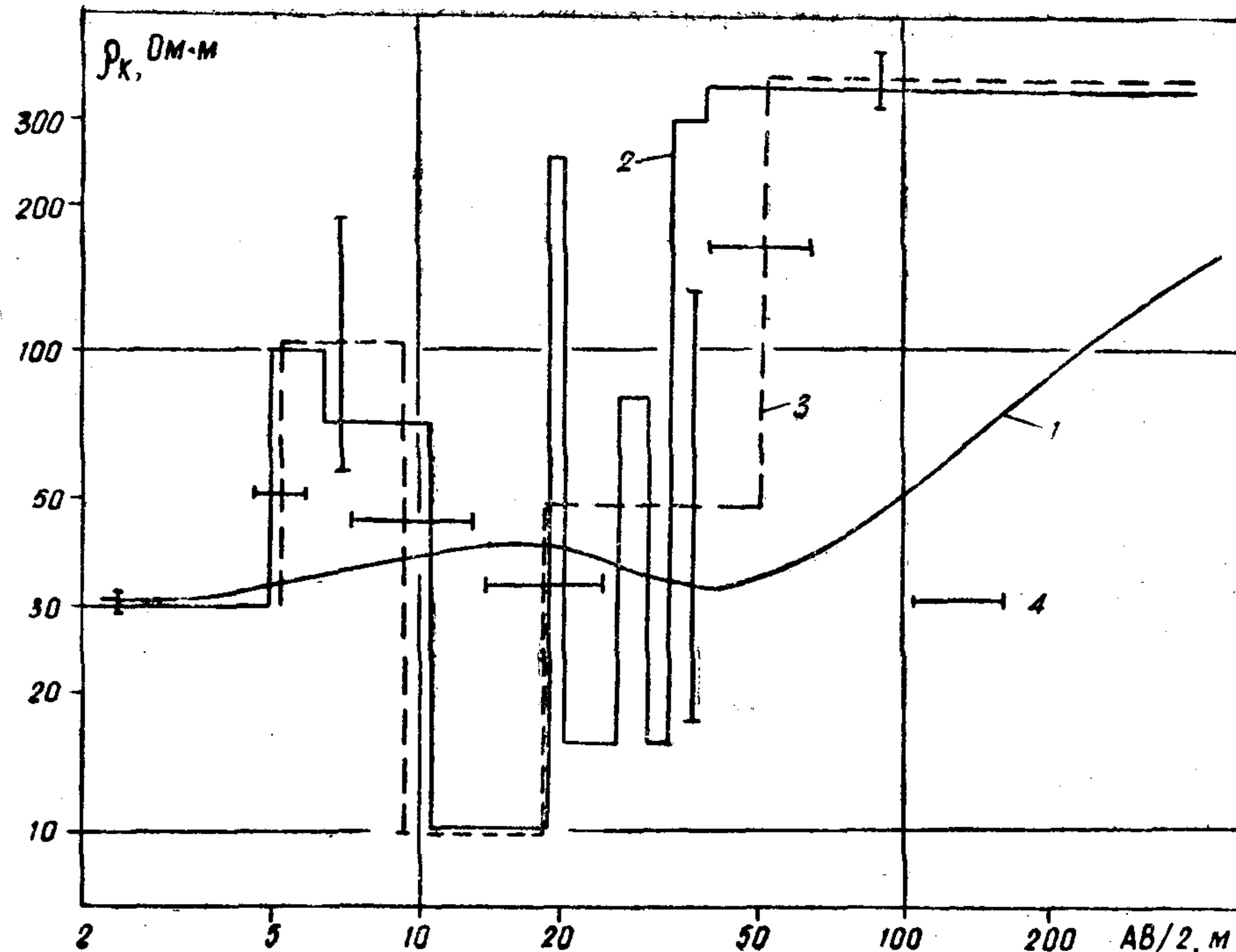
Из (15) видно: величина дисперсии быстро возрастает с увеличением коэффициента корреляции. При  $r_{sp} \rightarrow 1$  дисперсия бесконечно растет, и соответствующие параметры совместно различить невозможно.

Изложенный подход к решению обратной задачи ВЭЗ реализован в виде программы для ЭВМ на языке ФОРТРАН-IV. В основном в ней используются модели, разработанные в НИИФ ЛГУ для интерпретации магнитотеллурических данных. Изменены лишь подпрограммы расчета прямой задачи и частных производных. Эти функции вычисляются при помощи алгоритма линейной фильтрации с коэффициентами Д. П. Гоша, как описано в работе [2]. Программа отлажена на ЭВМ серий ЕС и СМ. Время решения обратной задачи для одной пятислойной кривой ВЭЗ составляет от 30 до 60 с на СМ-4 и около 7 с на ЕС-1033. Программа может работать в трех основных режимах: 0, 1, 2. В режиме 0 задается кривая  $\rho(r)$  и начальное приближение, определенное по виду кривой (число слоев и параметры модели).

В режиме 1 часть параметров разреза закрепляется, если они известны по данным других методов или определены по асимптотам на кривых ВЭЗ. Уменьшение размерности задачи ( $n < 2N - 1$ ) повышает скорость решения и точность определения остальных параметров.

В режиме 2 дополнительно вводятся индивидуальные ограничения на каждый из искомых параметров в виде априорных нижних и верхних пределов допустимых значений. Эта априорная информация, попадая через функцию (4) в систему уравнений (5), улучшает обусловленность матрицы  $A$  и снижает значения диагональной матрицы  $L$ , обеспечивающей сходимость итерационного процесса (6), приводит к улучшению эффективности оценок  $\Theta_s$ , т. е. к сужению доверительных апостериорных интервалов (13) и уменьшению коэффициентов корреляции (14).

Совместное рассмотрение значений  $\epsilon_s$  и корреляционной матрицы  $r$  позволяет установить причины высоких погрешностей оценок параметров. Как правило, большие  $\epsilon_s$  связаны (и вызваны) близкими к  $\pm 1$  коэффициентами корреляции  $r_{sp}$ . Если  $r(\rho_1, h_1)$  близок к  $+1$ , мы имеем дело с  $S$ -эквивалентностью. Значениями  $r(\rho_1, h_1)$ , близкими к  $-1$ , характеризуется  $T$ -эквивалентность. Если, например,  $r(\rho_1, h_1)$  близок к  $\pm 1$ , значит на кривой ВЭЗ нет левой асимптоты. Тесные корреляцион-



Результаты интерпретации модельной кривой ВЭЗ

1 — кривая  $\rho_k$ ; 2 — истинная десятислойная модель  $\rho(z)$ ; 3 — оптимальная пятислойная модель с закрепленным значением  $\rho_3$  по результатам интерпретации; 4 — доверительные интервалы оценок параметров

ные связи нередко отмечаются между оценками  $h_1$  и  $\rho_2$ , в этом случае неопределенность в оценке абсциссы первого креста влечет за собой неточности в оценке  $\mu = \rho_2/\rho_1$ .

Установив причину высоких погрешностей оценок параметров, наметим пути улучшения решения. Для  $S$ - и  $T$ -эквивалентностей можно закрепить один из параметров. Это помогает резко уменьшить  $\epsilon$  для другого параметра, хотя и не устраивает ее совсем, ведь остаются связи этого параметра с соседними слоями. Высокие  $r_{sp}$  соседних слоев при отсутствии априорной информации вынуждают объединять их, так как в полевой кривой недостаточно информации для их раздельного определения.

Покажем возможности статистической интерпретации на тестовом примере. По геологическим данным разрез состоит из 10 слоев. Их параметры указаны в таблице. Кривая ВЭЗ (рисунок) имеет вид четырехслойной типа КН, хотя при внимательном рассмотрении можно предположить наличие слоя  $A$  после  $H$  (т. е. тип КНА). Интерпретация кривой ВЭЗ как десятислойной показала: погрешности большинства параметров недопустимо велики (таблица). Поэтому необходимо уменьшить число искомых параметров. Объединив слои 5—8 в один и присоединив слой 9 к 10, получим шестислойную модель. В ней оказывается невозможным раздельно определить  $h_2$  и  $h_3$ . Объединив их, получим пятислойную модель с третьим слоем, подверженным сильной  $S$ -эквивалентности ( $r[\rho_3 h_3] = 0.99$ ).

Для улучшения качества решения возможны два пути:  $A$  — введение дополнительной информации о  $\rho_3$ ;  $B$  — дальнейшее уменьшение числа слоев модели. Основанием для  $A$  является  $r(\rho_3, h_3)$ , а для  $B$  — корреляция  $\rho_3$  и  $h_3$  с  $h_4$  ( $r > 0.7$ ). Закрепив  $\rho_3$  для юрских глин на 10 Ом·м,

резко уменьшим ошибки в  $h_3$  с  $\varepsilon > 5$  до 1,9. Объединяя слои 3 и 4, даже без закрепления параметров, получим весьма малые оценки погрешностей. Но этот путь приводит к потере геологического смысла задачи, так как в решении утрачен слой юрских глин, обнаружение которого являлось основной задачей ВЭЗ в этом районе. Таким образом, с геологической точки зрения и по точности решения наиболее приемлем вариант А с пятью слоями и с закрепленным  $\rho_3$  для глин. Если же сравнивать качество интерпретации только по невязке кривых, то она примерно одинакова во всех рассмотренных случаях.

Приведенный пример иллюстрирует возможности программы, но не методику интерпретации с использованием ЭВМ. Последняя заслуживает отдельного обсуждения.

#### ЛИТЕРАТУРА

1. Колесников В. П. Обработка и интерпретация результатов вертикального электрического зондирования с помощью ЭВМ. М.: Недра, 1981.
2. Куфуд О. Зондирование методом сопротивлений. М.: Недра, 1984.
3. Статистическая интерпретация геофизических данных / Под ред. Ф. М. Гольцмана. Л.: Изд-во ЛГУ, 1981.
4. Электроразведка: Справочник геофизика. М.: Недра, 1979.
5. Яновская Т. Б., Порохова Л. Н. Обратные задачи геофизики. Л.: Изд-во ЛГУ, 1983.

Ленинградский государственный  
университет им. А. А. Жданова  
Московский государственный  
университет им. М. В. Ломоносова

---